

ژئوشیمی و نحوه تشکیل تورمالین‌های پگماتیتی و رگه‌ای در لوکوگرانیت‌های مشهد

فرهاد زال^۱، زهرا طهماسبی^(۲) و احمد احمدی‌خلجی^{۳*}

۱. دانشجوی دکتری، گروه زمین‌شناسی، دانشکده علوم، دانشگاه لرستان
۲. استادیار، گروه زمین‌شناسی، دانشکده علوم، دانشگاه لرستان
۳. استادیار، گروه زمین‌شناسی، دانشکده علوم، دانشگاه لرستان

تاریخ دریافت: ۹۴/۱۲/۱۹

تاریخ پذیرش: ۹۵/۰۴/۲۱

چکیده

منطقه مورد مطالعه بخشی از زون بینالود است که شامل لوکوگرانیت‌های مشهد با پگماتیت‌ها و رگه‌های تورمالین‌دار می‌باشد. با توجه به مطالعات انجام شده بر روی لوکوگرانیت‌های مشهد، این گرانیت‌ها جزء گرانیت‌های پرآلومینینم، بسیار تفرقی یافته و حاصل از ذوب متاپلیت‌ها معرفی شده‌اند. در این گرانیت‌ها، تورمالین به شکل‌های مختلف دندربیتی، نودولی، رگه‌ای و پگماتیتی دیده می‌شود. برای بررسی ژئوشیمی تورمالین‌های رگه‌ای و پگماتیتی ازانالیزهای میکروبروپ (EPMA)، ICP-MS و XRF استفاده شده است. بر اساس این آنانالیزها، تورمالین‌های پگماتیتی از نوع شورل و تورمالین‌های رگه‌ای از نوع شورل غنی از منزینیم می‌باشند و هر دو نوع در محدوده تورمالین‌های قلیابی قرار می‌گیرند. این تورمالین‌ها دارای منطقه‌بندی نوسانی و چندرنگی سبز-آبی تا قهوه‌ای می‌باشند که به دلیل تغییر در مقادیر Ca، Fe و Ti از مرکز به حاشیه کانی می‌باشد. در تورمالین‌های مورد مطالعه، مهم‌ترین جانشینی‌ها از نوع ماگما بوده با این تفاوت که تورمالین‌های پگماتیتی خصوصیات سیستم ماگمایی و تورمالین‌های رگه‌ای ویژگی‌های ماگمایی-گرمایی را نشان می‌دهند که این به مراحل تکامل پگماتیت‌ها و سیالات حاصل در طول تکامل آن‌ها مرتبط می‌باشد.

واژه‌های کلیدی: تورمالین، زون بینالود، شورل، لوکوگرانیت، مشهد.

مقدمه

تورمالین یک کانی پیچیده سیلیکاته بور دار با فرمول $\text{X}_3\text{Y}_6\text{O}_{18}(\text{BO}_3)_3\text{V}_3\text{W}$ با تردد می‌شود. موقعیت T اغلب به‌وسیله Al، موقعیت W با OH و OH و موقعیت V را، F، H، و O پر می‌کنند (Foit and Rosenberg, 1977). تورمالین پایداری شیمیایی و فیزیکی گستردگی دارد و ترکیبیش تحت تأثیر شرایط شکل‌گیری آن می‌باشد. این ویژگی یک پتروژنز سیار جالب برای تورمالین بیان می‌کند که ممکن است برای اهداف اکتشافی

کلی $\text{X}_3\text{Y}_6\text{O}_{18}(\text{BO}_3)_3\text{V}_3\text{W}$ است. موقعیت X توسط Z با Ca, Na, K و گاهی با Fe²⁺, V³⁺, Cr, Mg, Ti و Fe³⁺ پر می‌شود. موقعیت Y جانشینی‌های گوناگونی از کاتیون‌های یک تا چهار ظرفیتی را شامل

* نویسنده مرتبط: tahmasebi.z@lu.ac.ir

تورمالین را به تفرقی ماقمایی نسبت داده‌اند (Burianek et al., 2008; Jiang et al., 2007; and Novak, 2008) در حالی که برخی دیگر بر یک مرحله خاص از تکامل گرانیت متمنک شده‌اند و چندین مطالعه نیز به یک توالی پیچیده از تولید تورمالین از ماقمای اولیه تا پگماتیتی و مرحله پنوماتولیتی تا هیدروترمال و آغشتگی به سنگ میزان استناد کرده‌اند (London and Manning, 1995). در لوکوگرانیت‌های مشهد (^{g²}) ریخت‌های مختلفی از تورمالین‌های شامل تورمالین با شکل دندربیتی، نودولی، تورمالین‌های منشوری درشت‌بلور پگماتیتی و رگه‌های کوچک و غنی از تورمالین‌های دانه‌ریز دیده می‌شود (زال، ۱۳۹۳). طهماسبی و همکاران (۱۳۹۴ a) نحوه تشکیل اشکال مختلف تورمالین در این لوکوگرانیت‌ها را با توجه به خصوصیات پتروگرافی آنها و با استفاده از آنالیز فراکتال و تئوری اجتماع با انتشار محدود (DLA) بررسی کرده‌اند. همچنین طهماسبی و همکاران (۱۳۹۴ b) خصوصیات ژئوشیمیابی و سازوکار تشکیل تورمالین‌های نودولی در لوکوگرانیت‌های مشهد را مورد مطالعه قرار داده‌اند. در اینجا نیز به بررسی ژئوشیمیابی، تعیین نام دقیق کانی‌شناسی، نحوه تشکیل و تعیین منشأ درشت‌بلورهای تورمالین پگماتیتی و تورمالین‌های دانه‌ریز رگه‌ای موجود در لوکوگرانیت‌های مشهد پرداخته می‌شود.

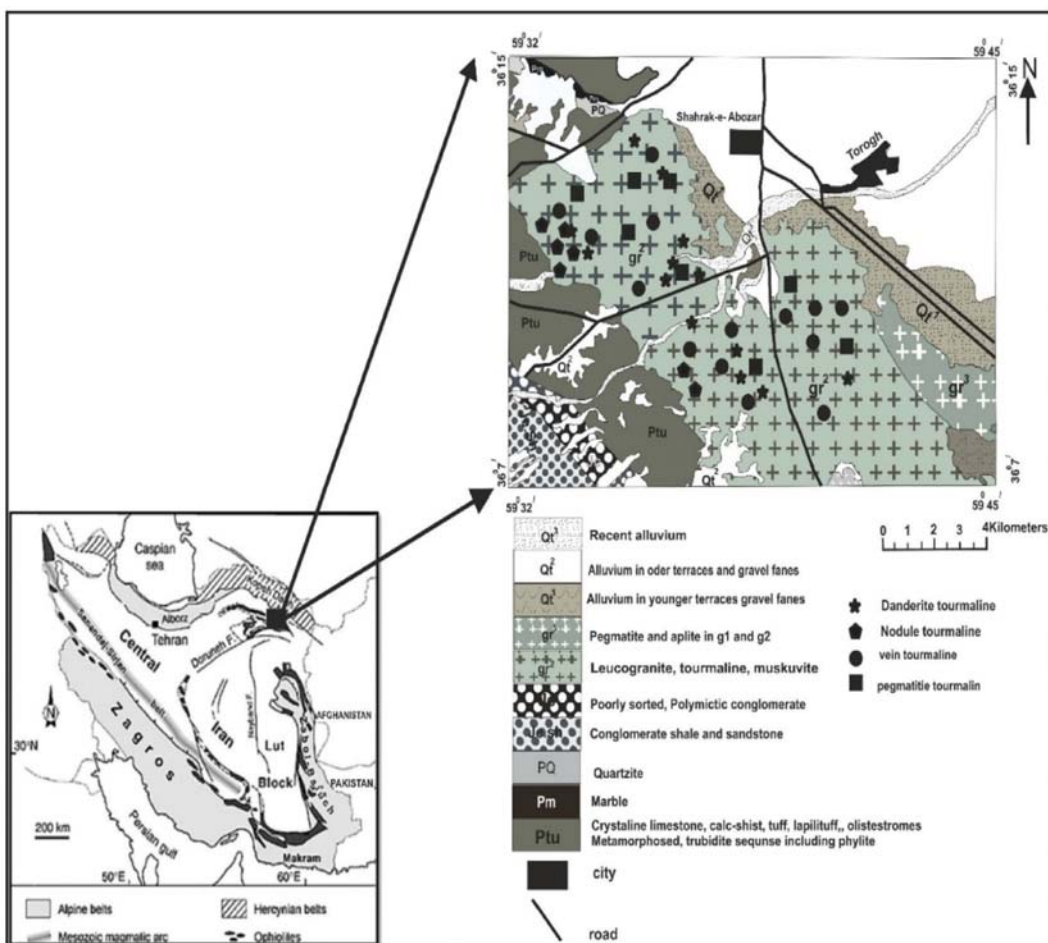
زمین‌شناسی عمومی

منطقه مورد مطالعه در محدوده ورقه ۱:۱۰۰۰۰ مشهد به مختصات "۳۶°۷' نا ۵۹°۰'۰" ۳۶° عرض شمالی و "۵۹°۳۲'۰" تا "۴۵°۰' طول شرقی قرار گرفته است (شکل ۱). از نظر زمین‌شناسی، این منطقه بخشی از زون بینالود محسوب می‌شود که مرز جنوبی آن، گسل میامی یا گسل شاهروド و مرز شمال غربی آن را گسل سمنان می‌دانند. شواهد زمین‌شناسی و تعیین سن مطلق نشان داده است که فازهای دگرگونی و گرانیت‌زنی اولیه در این زون به فاز کوهزادی هرسنین باز می‌گردد و بعدها در تربیاس میانی نیز مجموعاً تحت تأثیر دگرگونی‌های سیمرین پیشین قرار گرفته است. از نظر ماقماییسم، سه فاز اصلی در زون بینالود تشخیص داده شده است. فاز نخست بیشتر

(Beaty et al., 1988; Henry and Dutrow, 1992, 1996) پتروژئیک مفیدی در گرانیت و پگماتیت‌های گرانیتی هستند (Seleway, 1999, 2000a, 2000b, 2002; Agrosi et al., 2006). تورمالین یک فاز معمول در لوکوگرانیت پرآلومینیم است و زمانی که ان迪س اشباع از آلومینیم به ۱/۲ برسد، Mg و Fe کافی در مذاب در دسترس باشد متبلور می‌شود (Wolf and London, 1997). به نظر London et al. (1996) انسواع تورمالین‌های موجود در گرانیت‌های نوع S عبارتند از: ۱) منشورهای همگن با دانه‌های بین شبکه‌ای پراکنده به عنوان فاز جانبی در گرانیت‌ها یا پگماتیت‌ها. ۲) تورمالین در حاشیه توده گرانیتی و پگماتیت، عمود بر سطح تماس با ماقمای لوکوکرات که ترکیب شیمیابی مورد نیاز هم از سنگ میزان (Fe و Mg) و هم از ماقما (Al، Na و B) فراهم می‌شود. ۳) تورمالین‌هایی که از یک فاز مایع آبدار نامحلول در مرحله نهایی انجامداد گرانیت رشد کرده‌اند و تمایل به Fe و Mg پایین و غنی‌شدنی از Al دارند و بیشتر در حفرات میارولیتی یا رگه‌ها و در بخش بالایی و مرز توده متبلور می‌شوند. ۴) تورمالین‌ها در رگه‌های هیدروترمال و برشی در بخش‌های حاشیه توده و در سنگ میزان آنها که به شکل تورمالین توده‌ای، رگه‌های کوارتز-تورمالین و یا مرتبط با نهشته‌های معدنی در اسکارن و با گرینز می‌باشد تشکیل شده که نشان‌دهنده اختلاط بین بور مشتق شده از توده ماقمایی و ترکیبات فرعی و اصلی (Fe و Mg) مشتق از سنگ میزان است. بور در طی واکنش کانی‌ها در شرایط سیستم بسته مانند شکسته شدن میکاها می‌تواند آزاد شود و سیال‌ها نقش کلیدی در انتقال بور و تسهیل در رشد تورمالین بازی می‌کنند (Henry and Dutrow, 1996). منشأ تورمالین در گرانیت‌ها می‌تواند با مرحل مختلف تکامل ماقمای گرانیتی، نظیر تبلور ماقمای اولیه، تبلور ماقمای تأخیری یا تبلور از سیالات هیدروترمال مرتبط باشد (Dini et al., 2007). بنابراین ترکیب تورمالین به شدت وابسته به ترکیب گرانیت میزانش است (Kubiš and Broska, 2010). برخی از محققین با مقایسه کردن تورمالین ماقمایی اولیه با هیدروترمال، تکامل شیمیابی

سن جایگزینی توده گرانیتی را به روش پتاسیم- آرگون، ژوراسیک بالا- کرتاسه زیرین می دانند اما با توجه به وجود قطعات بزرگ گرانیتی در قاعده سازند کشف رود (باژوسین) از یک طرف و قطع شدن توهد نفوذی مجموعه افیولیتی مشهد و رسوبات تربیدیاتی با سن ترباس از طرف دیگر، سن ترباس بالایی- ژوراسیک زیرین قابل قبولتر می باشد.

گرانو دیوریتی (g¹) است و در نواحی جنوب شرق گسترش دارد و آنکلاوهای آن درون لوکو گرانیت ها (g²) دیده می شوند. در فاز پنوماتولیتی رگه های پگماتیتی و آپلیتی تمام این مجموعه را قطع می کند (g³). کریم پور و همکاران (۱۳۹۰) بر اساس تعیین سن های انجام گرفته به روش U-Pb بر روی کانی زیرکن در لوکو گرانیت ها، سن ترباس فوکانی را برای آن ها تعیین کرده اند. Alberti and Moazzez (1974)



شکل ۱. نقشه زمین‌شناسی منطقه مورد مطالعه (برگرفته از نقشه ۱:۱۰۰۰۰۰ زمین‌شناسی مشهد (Taheri and Ghaemi, 1994) و موقعیت آن در نقشه ساختاری ایران

و متاپسamtیت منشأ گرفته است (کریم پور و همکاران، ۱۳۹۰). گرمای لازم برای ذوب این متاپلیت ها و متاپسamtیت ها از گوشته تأمین شده است و به عبارت دیگر، گوشته نقش یک موتور حرارتی را داشته است (کریم پور و همکاران، ۱۳۹۰). از طرف دیگر برخورد صفحه ایران و توران باعث کوتاه شدگی و ستبرشدگی پوسته شده است که در نتیجه این ستبرشدگی

لوکو گرانیت های مشهد (g²) از نوع S هستند و در طی برخورد صفحه ایران با توران نفوذ کرده اند (Mirnejad et al., 2013؛ کریم پور و همکاران، ۱۳۹۰؛ ولی زاده و کریم پور، ۱۳۷۴؛ میرنژاد، ۱۳۷۰). بر اساس داده های ایزوتوپی Sm-Nd و Rb-Sr، این لوکو گرانیت ها منشأ خارج از گوشته دارند و ماگما های اولیه از پوسته قاره ای با ترکیب بین متاپلیت

و تعیین کانی‌های مناسب برای آنالیزهای مربوط به شیمی کانی‌ها انتخاب شد، و سپس در مرکز تحقیقات فرآوری مواد معدنی ایران با دستگاه آنالیز نقطه‌ای مدل Cameca SX10، ساخت شرکت Cameca کشور فرانسه در شرایط ولتاژ و ۱۵ Kev آمپر ۲۰ nA تحت آنالیز میکروپریپ قرار گرفت (آنالیزهای معرف در جداول ۱ و ۲). در این آنالیزها شش کانی تورمالین در ۲۸ نقطه مورد آنالیز قرار گرفت. در ادامه به‌منظور تعیین عناصر کمیاب به صورت کاتیونی و همچنین تعیین ۱۰ اکسید اصلی به روش‌های XRF و ICP-MS، تعداد دو نمونه از سنگ میزبان و دو نمونه از کانی تورمالین به آزمایشگاه Act lab کشور کانادا ارسال گردید و مورد آنالیز قرار گرفت (جدول ۳). برای جدایش کانی تورمالین، ابتدا نمونه‌های تورمالین دار تا اندازه ۱۲۰ فی خرد شدند، سپس از محلول برمومفرم عبور داده شدند. آنگاه نمونه‌های جدا شده مجدداً با استفاده از هاونگ تا سایز ۲۰۰ فی خرد شدند و با استفاده از میکروسکوپ بیناکولا، جداسازی و خالص‌سازی دانه‌های تورمالین انجام گردید.

جدول ۱. داده‌های مربوط به آنالیز میکروپریپ تورمالین پگماتیتی. دستیابی به فرمول ساختاری این کانی با استفاده از ۳۱ آنیون (O, OH) انجام شده است

element	Core						Rim.		Core						Rim	
	SiO ₂	TiO ₂	Al ₂ O ₃	FeO	MgO	CaO	MnO	Na ₂ O		Rim.	Core					
SiO ₂	37.46	37.38	36.92	37.19	36.61	36.26	37.01	36.47	36.37	36.61	36.82	36.55	36.98	36.64		
TiO ₂	0.30	0.31	0.34	0.29	0.30	0.89	0.81	0.54	0.92	0.72	0.80	0.77	0.74	0.83		
Al ₂ O ₃	35.18	34.96	34.78	34.69	35.01	34.29	34.13	33.71	33.99	34.00	34.14	33.56	34.05	33.51		
FeO	11.72	11.54	11.89	11.56	12.10	12.01	12.09	11.62	11.74	11.58	12.25	11.89	11.99	11.86		
MgO	2.55	2.57	2.29	2.28	2.31	2.69	2.73	2.84	2.67	2.99	2.92	2.72	2.65	2.83		
CaO	0.16	0.11	0.09	0.14	0.11	0.25	0.23	0.20	0.24	0.22	0.22	0.23	0.22	0.23		
MnO	0.11	0.07	0.08	0.09	0.11	0.07	0.09	0.09	0.09	0.10	0.09	0.10	0.09	0.07		
Na ₂ O	1.85	1.72	1.76	1.77	1.91	1.99	2.05	2.09	2.17	2.07	1.99	2.09	2.18	2.16		
element	Core						Rim.		Core						Rim	
K ₂ O	0.04	0.03	0.04	0.03	0.04	0.04	0.04	0.04	0.06	0.05	0.08	0.06	0.04	0.05		
F	0.32	0.37	0.22	0.06	0.34	0.08	0.35	0.50	0.10	0.38	0.35	0.29	0.63	0.32		
H ₂ O	2.76	2.72	2.77	2.86	2.71	2.84	2.73	2.60	2.83	2.68	2.72	2.72	2.56	2.71		
B ₂ O ₃	10.03	10.63	10.54	10.5	10.55	10.52	10.01	10.43	10.50	10.52	10.61	10.46	10.57	10.49		
Total	102.6	102.6	101.8	101.1	102.2	102.0	102.7	101.3	101.7	102.1	103.1	101.6	103.0	101.8		
O=F	0.13	0.16	0.09	0.03	0.14	0.03	0.15	0.21	0.04	0.16	0.15	0.12	0.27	0.13		
محاسبه تعداد کاتیون‌ها براساس ۳۱ آنیون																
T:																
Si	6.22	6.21	6.17	6.17	6.15	6.11	6.19	6.12	6.12	6.12	6.15	6.10	6.15	6.13		
B	3.00	3.00	3.00	3.00	3.00	3.00	3.00	3.00	3.00	3.00	3.00	3.00	3.00	3.00		
Z:																
Al	6.00	6.00	6.00	6.00	6.00	6.00	6.00	6.00	6.00	6.00	6.00	6.00	6.00	6.00		
Y:																
Al	0.88	0.85	0.85	0.78	0.94	0.81	0.73	0.67	0.74	0.70	0.73	0.60	0.67	0.60		
Ti	0.04	0.04	0.04	0.04	0.04	0.11	0.10	0.07	0.12	0.09	0.10	0.10	0.09	0.10		

پوسته قاره‌ای، متاپلیت‌ها و متاپیسامیت‌ها تحت شرایط دی‌هیدراسیون شروع به ذوب‌شدگی کرده‌اند (کریم بور و همکاران، ۱۳۹۰). همچنین میرززاد (۱۳۷۰) عامل ایجاد آنها را چنین بیان می‌کند که با انجام فرورانش پوسته اقیانوسی پالثوتیس و وارد شدن محلول به داخل پوسته قاره‌ای، ذوب بخشی سنگ‌های با ترکیب بازیک حادث گشته است و باعث تشکیل تونالیت و گرانوپیوریت‌ها (g1) شده است و در اثر برخورد قاره‌ها، حرارت و فشار منطقه برخورد افزایش یافته که در حد نهایی دگرگونی و سپس ذوب بخشی سنگ‌ها با منشأ رسوی، مسکویت-بیوکیت گرانیت‌ها (لوکوگرانیت‌ها) ایجاد شده‌اند.

روش تحقیق

در ابتدا طی بررسی‌های صحرایی از منطقه نمونه‌برداری، تعداد ۵۰ عدد نمونه برای تهیه مقاطع نازک انتخاب شد. بعد از بررسی میکروسکوپی مقاطع نازک، تعداد سه عدد نمونه برای تهیه مقاطع نازک صیقلی، مطالعات دقیق کانی‌شناسی

فرهاد زال و همکاران

element	Core						Rim.	Core						Rim
Mg	0.63	0.64	0.57	0.56	0.58	0.68	0.68	0.71	0.67	0.75	0.73	0.68	0.66	0.71
Mn	0.02	0.01	0.01	0.01	0.02	0.01	0.01	0.01	0.01	0.01	0.01	0.01	0.01	0.01
Fe ²⁺	1.63	1.60	1.66	1.60	1.70	1.69	1.69	1.63	1.65	1.62	1.71	1.66	1.67	1.66
X:														
Ca	0.03	0.02	0.02	0.02	0.02	0.05	0.04	0.04	0.04	0.04	0.04	0.04	0.04	0.04
Na	0.60	0.55	0.57	0.57	0.62	0.65	0.66	0.68	0.71	0.67	0.64	0.68	0.70	0.70
K	0.01	0.01	0.01	0.01	0.01	0.01	0.01	0.01	0.01	0.01	0.02	0.01	0.01	0.01
X-Vacancy	0.37	0.42	0.41	0.40	0.35	0.30	0.29	0.28	0.24	0.28	0.30	0.27	0.25	0.25
OH	3.06	3.02	3.09	3.16	3.04	3.19	3.05	2.91	3.18	2.99	3.03	3.03	2.84	3.02
F	0.17	0.19	0.12	0.03	0.18	0.04	0.19	0.27	0.05	0.20	0.19	0.15	0.33	0.17
FeO/Fe+MgO	0.82	0.82	0.84	0.84	0.84	0.82	0.82	0.80	0.81	0.79	0.81	0.81	0.82	0.81
Na/Na+Ca	0.95	0.97	0.97	0.96	0.97	0.94	0.94	0.95	0.94	0.94	0.94	0.94	0.95	0.94
Fe/Fe+Mg	0.72	0.72	0.74	0.74	0.75	0.71	0.71	0.70	0.71	0.68	0.70	0.71	0.72	0.70

جدول ۲. داده‌های مربوط به آنالیز میکروپریوب تورمالین رگه‌ای. دستیابی به فرمول ساختاری این کانی با استفاده از ۳۱ آئیون (O, OH) انجام شده است

element	Core						Rim	Core						Rim
SiO ₂	36.70	36.50	36.84	36.60	37.35	36.50	36.80	35.60	35.07	36.77	36.87	36.37	36.20	36.29
TiO ₂	0.98	0.84	0.82	0.81	1.31	1.14	0.73	0.28	0.39	0.23	0.34	0.60	0.94	1.03
Al ₂ O ₃	33.41	33.70	33.65	33.80	33.43	32.66	34.50	34.58	35.64	34.34	34.50	34.16	33.62	33.06
FeO	9.70	9.45	9.18	9.44	9.53	9.49	9.84	13.60	12.03	12.46	12.17	12.27	12.30	12.27
element	Core						Rim	Core						Rim
MgO	4.50	4.53	4.57	4.66	4.73	4.71	4.44	2.40	2.29	2.22	2.29	2.34	2.91	3.13
CaO	0.32	0.35	0.31	0.31	0.31	0.30	0.23	0.13	0.10	0.10	0.13	0.17	0.31	0.33
MnO	0.16	0.13	0.11	0.12	0.12	0.12	0.12	0.20	0.22	0.23	0.22	0.20	0.20	0.20
Na ₂ O	2.29	2.23	2.17	2.25	2.45	2.24	2.21	1.70	2.01	1.76	1.82	1.93	2.15	2.30
K ₂ O	0.00	0.00	0.00	0.00	0.00	0.00	0.00	0.00	0.00	0.03	0.04	0.05	0.04	0.05
F	0.10	0.14	0.04	0.10	0.05	0.03	0.09	0.28	0.09	0.30	0.07	0.26	0.29	0.08
H ₂ O	2.90	2.97	2.90	2.98	2.94	2.87	3.03	2.92	3.12	2.88	2.91	2.87	2.94	2.92
B ₂ O ₃	10.58	10.58	10.57	10.61	10.72	10.47	10.71	10.48	10.49	10.52	10.54	10.50	10.54	10.50
O=F	0.042	0.059	0.017	0.042	0.021	0.013	0.038	0.118	0.038	0.126	0.029	0.109	0.122	0.034
Total	101.6	101.4	101.2	101.7	102.9	100.5	102.7	102.2	101.5	101.8	101.9	101.7	102.4	102.2
محاسبه تعداد کاتیون‌ها براساس ۳۱ آئیون														
:T														
Si	6.16	6.04	6.17	6.13	6.20	6.10	6.11	6.02	6.00	6.18	6.17	6.15	6.07	6.13
B	3	3	3	3	3	3	3	3	3	3	3	3	3	3
:Z														
Al	6.00	6.00	6.00	6.00	6.00	6.00	6.00	6.00	6.00	6.00	6.00	6.00	6.00	6.00
:Y														
Al	0.61	0.58	0.64	0.67	0.54	0.43	0.75	0.90	0.94	0.80	0.81	0.80	0.64	0.58
Ti	0.12	0.10	0.10	0.10	0.16	0.14	0.09	0.04	0.05	0.03	0.04	0.08	0.12	0.13
Mn	0.02	0.02	0.02	0.02	0.02	0.02	0.02	0.03	0.03	0.03	0.03	0.03	0.03	0.03
Fe ²⁺	1.36	1.31	1.29	1.32	1.32	1.33	1.37	1.92	1.69	1.75	1.70	1.73	1.72	1.73
:X														
Ca	0.06	0.06	0.06	0.06	0.06	0.05	0.04	0.02	0.02	0.02	0.02	0.03	0.06	0.06
Na	0.75	0.72	0.70	0.73	0.79	0.73	0.71	0.56	0.65	0.57	0.59	0.63	0.70	0.75
K	0.00	0.00	0.00	0.00	0.00	0.00	0.00	0.00	0.00	0.01	0.01	0.01	0.01	0.01
x-vacancy	0.20	0.22	0.24	0.21	0.16	0.22	0.25	0.42	0.33	0.40	0.38	0.33	0.24	0.18
OH	3.25	3.28	3.24	3.33	3.25	3.20	3.35	3.30	3.50	3.23	3.25	3.23	3.29	3.29
F	0.05	0.07	0.02	0.05	0.03	0.02	0.05	0.15	0.05	0.16	0.04	0.14	0.15	0.04
FeO/FeO+MgO	0.68	0.68	0.67	0.67	0.67	0.67	0.69	0.85	0.91	0.85	0.84	0.84	0.83	0.80
Na/Na+Ca	0.93	0.92	0.93	0.93	0.93	0.93	0.95	0.96	0.97	0.97	0.96	0.95	0.93	0.93
Fe/Fe+Mg	0.55	0.54	0.53	0.53	0.53	0.53	0.55	0.77	0.85	0.76	0.75	0.75	0.74	0.69

element	Host. P	Tourmalin.p	Tourmalin. V	Host.V
Pb	35	18	19	45
Bi	4. 0	4. 0	4. 0	4. 0
Th	6. 17	1. 0	7. 0	3. 10
U	3	6. 0	1. 1	9. 2
Σ REE	159	12	19	110
(La/Yb)n	47/4	27.6	16.5	31.2
Eu/Eu*	0.63	3.45	1.44	0.82

ویژگی‌های صحرایی و پتروگرافی لوکوگرانیت میزبان و تورمالین‌ها

لوکوگرانیت میزبان: توده لوکوگرانیت مشهد با روند شمال غربی-جنوب شرقی دارای ابعادی در حدود ۷-۱۷ کیلومتر می‌باشد. این توده شامل واحدهای مختلفی مانند پگماتیت‌های غنی از تورمالین (شکل ۲-الف) و رگه‌های تورمالین‌دار (شکل ۲-ب) است که این توده را به صورت شبکه‌ای قطع کرده‌اند. در مناطق خلچ و ده غیبی، گرانیت‌های لوکوکرات متوسط تا درشت‌دانه (مسکوویت و بیوپتیت‌دار متوسط دانه) و پگماتیت‌های کوارتز-ارتوز-مسکوویت-تورمالین‌دار دیده می‌شود. پگماتیت‌ها در منطقه ده غیبی شامل فلدسپات و کوارتز به ابعاد بزرگ‌تر از دو تا سه سانتی‌متر می‌باشد و بلورهای مسکوویت به ابعاد یک سانتی‌متر یا بیشتر در آن‌ها دیده می‌شود. این سنگ‌ها توسط رگه‌های پگماتیتی تورمالین‌دار قطع می‌شوند. دانه‌بندی در گرانیت‌ها یکنواخت است اما گاهی تغییراتی در آن‌ها دیده می‌شود به طوری که در منطقه هفت حوض، میزان مسکوویت و همچنین اندازه آن بزرگ‌تر از بیوپتیت است اما با حرکت به سمت شرق توده، میزان بیوپتیت مساوی و یا بیشتر از موسکوویت می‌شود و در آنها یک جهت یافته‌گی ترجیحی هم دیده می‌شود. به طور کلی توده لوکوگرانیتی به صورت تمام بلورین، درشت تا متوسط دانه با بافت‌های گرانولار، پرتیتی و میرمکیتی بوده و دارای کانی‌های اصلی درشت و بی‌شکل کوارتز (۳۵-۳۸ درصد)، بلورهای خودشکل پلازیوکلаз (۲۷-۳۲ درصد) و میکروکلین (۲۵-۲۹ درصد)، بلورهای شکل دار موسکوویت (۲۵-۲۹ درصد) و بیوپتیت (۱۵-۲۵ درصد) (شکل ۲-پ) و کانی‌های فرعی آپاتیت، زیرکن و گارنت (این کانی بیشتر در

جدول ۳. داده‌های عناصر اصلی و کمیاب و نادر خاکی مربوط به تورمالین رگه‌ای (Tourmalin V)، سنگ میزبان تورمالین رگه‌ای (Host V)، تورمالین پگماتیتی (Tourmalin P) و سنگ میزبان تورمالین پگماتیتی (Host P)

element	Host. P	Tourmalin.p	Tourmalin. V	Host.V
SiO ₂	73.77	36.48	35.04	74.08
Al ₂ O ₃	13.40	32.47	31.52	13.10
Fe ₂ O ₃ (t)	0.47	14.11	13.53	0.60
MnO	0.03	0.15	0.18	0.03
MgO	0.08	3.04	2.96	0.10
CaO	0.93	0.59	0.68	1.19
Na ₂ O	3.81	2.05	2.08	3.63
K ₂ O	4.28	0.14	0.08	4.13
TiO ₂	0.05	0.99	0.85	0.05
P ₂ O ₅	0.29	0.09	0.13	0.25
LOI	0.88	2.16	1.68	0.93
Total	97.99	92.28	88.72	98.07
Sc	1	5	7	1
Be	11	10	9	11
V	7	36	30	6
Ba	511	11	12	464
Sr	187	77	80	181
Y	9	2	2	10
Zr	76	4	11	60
Cr	20	30	20	20
Co	1	13	12	1
Ni	20	20	20	20
Cu	40	20	20	70
Zn	30	920	780	30
Ga	17	98	85	15
Ge	2	3	2	1
As	5	6	5	5
Rb	270	3	2	226
Nb	7	1	1	5
Mn	2	2	2	2
Ag	9. 0	4. 1	5. 0	5. 0
In	2. 0	2. 0	2. 0	2. 0
Sn	12	25	30	15
Sb	5. 0	5. 0	5. 0	5. 0
Cs	3. 21	5. 0	5. 0	18
La	2. 42	1. 4	9. 4	7. 27
Ce	74	2. 5	9. 7	4. 49
Pr	35. 7	46. 0	75. 0	01. 5
Nd	5. 23	1. 1	5. 2	6. 16
Sm	3. 4	2. 0	6. 0	4. 3
Eu	69. 0	16. 0	26. 0	79. 0
Gd	6. 2	1. 0	5. 0	5. 2
Tb	4. 0	1. 0	1. 0	4. 0
Dy	8. 1	1. 0	5. 0	2
Ho	3. 0	1. 0	1. 0	3. 0
Er	7. 0	1. 0	2. 0	8. 0
Tm	1. 0	05. 0	05. 0	1. 0
Yb	6. 0	1. 0	2. 0	6. 0
Lu	09. 0	04. 0	04. 0	1. 0
Hf	2	2. 0	4. 0	6. 1
Ta	6. 3	7. 0	8. 0	2
W	1	1	1	1
Tl	4. 1	3. 0	1. 0	1. 1

تورمالین، کوارتز، موسکوویت، پلازیوکلаз، ارتوکلاز، بیوتیت، کانی‌های تیره و در بعضی موارد کانی سیلیمانیت مشاهده می‌شود. بافت‌های موجود عبارتند از: گرانولار، میرمکیت و پرتیت. تورمالین‌ها با چند رنگی قهقهه‌ای و قهقهه‌ای مایل به سبز که دارای منطقه‌بندی با هسته سبز و حاشیه قهقهه‌ای می‌باشند به صورت نیمه خودشکل‌اند که در حاشیه دارای شکل کامل‌تر و در مرکز بی‌شکل و دارای شکستگی زیادی می‌باشند (شکل ۲-ث). تورمالین‌ها در مجاورت کانی‌های کوارتز و فلدسپات قرار گرفته‌اند و در بعضی از محل‌ها تورمالین‌ها در متن فلدسپات قرار گرفته و کانی پلازیوکلاز از حاشیه توسط تورمالین احاطه شده است (شکل ۲-ج).

ژئوشیمی سنگ میزبان پگماتیت و رگه تورمالین‌دار

کریم پور و همکاران (۱۳۹۰)، لوکوگرانیت‌های مشهد را بر اساس آنالی‌های ICP-MS، XRF و ایزوتوپ‌های ناپایدار مورد بررسی قرار داده‌اند که بر طبق این بررسی‌ها، لوکوگرانیت‌های مشهد جز گرانیت‌های تفرقی یافته و در محدوده گرانیت‌وئیدهای پرآلومین بهشت فلزیک هستند و از ذوب متاپلیت‌ها و پسامیت‌ها به وجود آمده‌اند. غنی‌شدگی عناصر Zr، Ba، K، Cs و Rb (LILE) و تهی‌شدگی عناصر، Ti و Nb در آنها بیانگر وجود محیط فروراش در منطقه می‌باشد (کریم پور و همکاران، ۱۳۹۰). در اینجا صرفاً تعداد دو آنالیز از سنگ میزبان تورمالین‌ها برای نشان دادن ویژگی‌های آنها با تمرکز بر خاصیت اشباع از آلومینیم و رفتار عناصر کمیاب ارائه شده است.

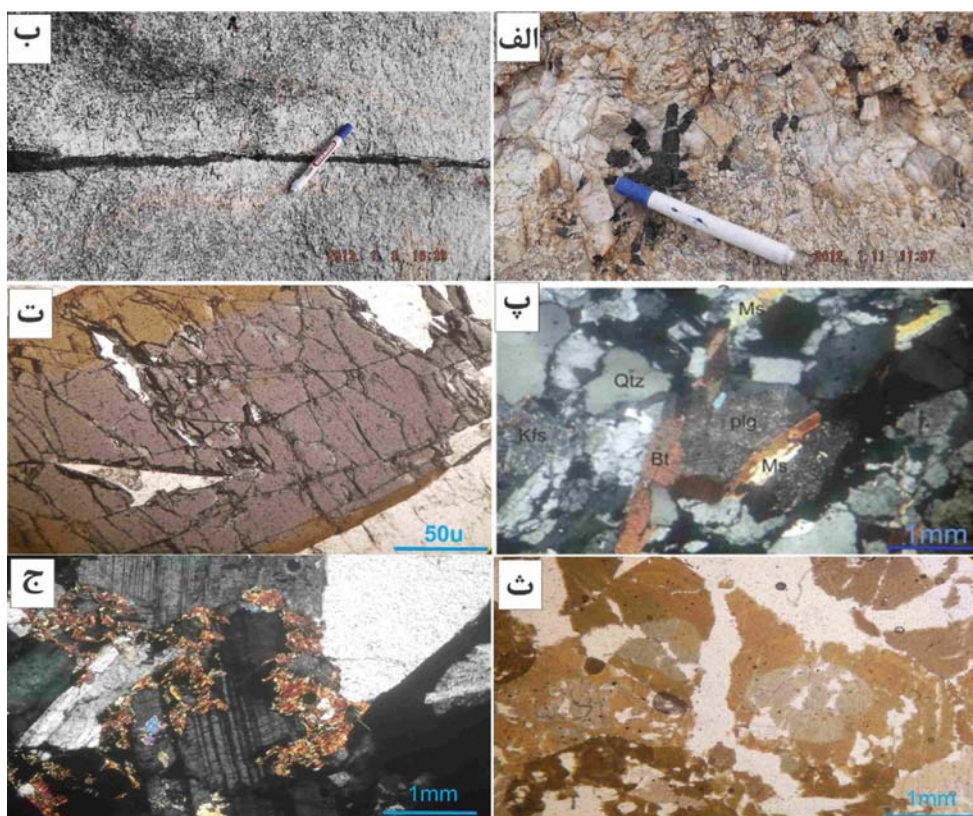
آنالیز عناصر کمیاب و اصلی سنگ میزبان پگماتیتی، رگه‌ای و تورمالین‌های موجود در آنها در جدول ۳ ارائه شده است. بر طبق این داده‌ها، سنگ میزبان پگماتیتی دارای SiO_2 ۷۳/۷۷ (درصد وزنی)، Al_2O_3 ۱۳/۴ (درصد وزنی) و همچنین دارای مقادیر پایین Fe_2O_3 ۰/۴۷ (درصد وزنی)، MgO ۰/۰۸ (درصد وزنی)، CaO ۰/۹۳ (درصد وزنی)، TiO_2 ۰/۰۵ (درصد وزنی) و مقادیر نسبتاً بالای K_2O ۴/۲۸ (درصد وزنی)، Na_2O ۳/۸۱ (درصد وزنی) می‌باشد.

HASHIYE TOODEH و در رگه‌های پگماتیتی دیده می‌شود) می‌باشد. ترکیب کانی گارنت در این سنگ‌ها و در هورنبلند بیوتیت توپولیت ده نو از نوع آلماندین است (کریم پور و همکاران، ۱۳۹۰ و صمدی و همکاران، ۱۳۹۱).

تورمالین پگماتیتی: در منطقه مورد مطالعه رگه‌های پگماتیتی زیادی دیده می‌شود که اکثر آن‌ها فاقد تورمالین‌اند و دارای کوارتز، فلدسپات و موسکوویت می‌باشند. در برخی مناطق پگماتیت‌های عرضی‌تر فاقد تورمالین توسط رگه‌های نازک‌تر تورمالین‌دار قطع شده‌اند. پگماتیت‌های تورمالین‌دار در بعضی مناطق دارای بلورهای منشوری درشت تورمالین (بزرگ‌تر از سه سانتی‌متر) (شکل ۲-الف) و همچنین دارای بلورهای گارنت (نوع آلماندین، کریم پور و همکاران، ۱۳۹۰) نیز می‌باشند. در بررسی‌های میکروسکوپی، این پگماتیت‌ها با بافت‌های پگماتوئیدی، پرتیتی، آنتی‌پرتیتی و میرمکیتی و دارای کانی‌های تورمالین، کوارتز، موسکوویت، میکروکلین، ارتوکلаз و در بعضی موارد آلماندین می‌باشند. کانی تورمالین به صورت خودشکل و نیمه‌خودشکل با چند-رنگی قهقهه‌ای و سبز مایل به قهقهه‌ای می‌باشد به طوری که دارای منطقه‌بندی با هسته سبز و حاشیه قهقهه‌ای هستند (شکل ۲-ت) و در بعضی موارد به صورت بالعکس می‌باشد. از نکات قابل توجه اینکه تورمالین در محل‌هایی در متن یک فلدسپات که غالباً از نوع میکروکلین است نیز دیده می‌شود که احتمالاً از تاثیر بور بر روی فلدسپات‌ها به وجود آمده‌اند. (Nemec 1975) در بررسی‌هایی که بر روی نحوه تشکیل تورمالین نو دولی موجود در لوکوگرانیت‌ها به عمل آورده، فرمول زیر را برای نحوه تشکیل تورمالین به خرج فلدسپات بیان کرده است.

$$\text{K-feldspar} + \text{boron+ iron + water} = \text{tourmaline} + \text{quartz} + \text{potassium} + \text{acid}$$

تورمالین‌های رگه‌ای: این تورمالین‌ها در سنگ‌های گرانیتی دو میکائی به صورت رگه‌هایی اغلب با قطر کمتر از دو سانتی‌متر دیده می‌شوند (شکل ۲-ب). بعضی از این رگه‌ها دارای حاشیه روشن‌تر از سنگ میزبان می‌باشند که احتمالاً به علت تبادلات شیمیایی بین سنگ میزبان و رگه تورمالین به وجود آمده‌اند. در بررسی‌های میکروسکوپی، کانی‌های



شکل ۲. (الف) تصویر میکروسکوپی از لوکوگرانیت‌های میزان با بلورهای بیوتیت (Bt)، موسکوبیت (Ms)، پلازیوکلاز (Plg)، کوارتز (Qtz) و فلدسپات آکالن (Kfs) در نور XPI. (ب) تصویر صحرایی از تورمالین در پگماتیت‌ها (پ) تصویر میکروسکوپی از تورمالین دارای منطقه‌بندی با هسته سبز و حاشیه قهوه‌ای در پگماتیت‌ها (نور PPI). (ت) تصویر صحرایی از رگه‌ای (نور PPI). (ث) تصویر میکروسکوپی از تورمالین‌های رگه‌ای دارای منطقه‌بندی با هسته سبز و حاشیه قهوه‌ای (نور PPI). (ج) تصویر میکروسکوپی از رشد تورمالین در اطراف و روی پلازیوکلاز در نمونه‌های رگه‌ای (نور XPI).

وزنی)، $\text{CaO} = 1/19$ (درصد وزنی)، $\text{TiO}_2 = 0/052$ درصد وزنی) و مقادیر نسبتاً بالای $13/4 \text{ K}_2\text{O}$ (درصد وزنی) و $3/63 \text{ Na}_2\text{O}$ (درصد وزنی) می‌باشد. اندیس اشباع از آلومنینیم سنگ میزان ($\text{ASI} = 1/46$) می‌باشد (شکل ۳-الف). سنگ میزان رگه‌ای نیز محتوی بالای SiO_2 و Al_2O_3 (LILE) با (469 ppm)، $\text{Ba} (469 \text{ ppm})$ ، $\text{Sr} (181 \text{ ppm})$ ، $\text{Cs} (18 \text{ ppm})$ ، $\text{Zr} (226 \text{ ppm})$ ، $\text{Rb} (60 \text{ ppm})$ ، $\text{Y} (30 \text{ ppm})$ ، $\text{Zn} (30 \text{ ppm})$ را نشان می‌دهد (شکل ۳-ت). همچنین دارای الگوی نرمالیز شده REE به کندریت (Boynton, 1984) مشابه سنگ میزان پگماتیتی است و با غنی‌شدگی LREE نسبت به $(\text{La/Yb} = 31/12)$ ، همچنین آنومالی منفی Eu و مقدار $(\sum \text{REE} = 110)$ ، $\text{Eu/Eu}^* = 0/82$ مشخص می‌شود (شکل ۳-ب). هر دو الگوی REE‌ها با الگوی گرانیت‌هایی که از ذوب بخشی متاپلیت‌ها حاصل

اندیس اشباع از آلومنینیم سنگ میزان ($\text{ASI} = 1/48$) درجه پرآلومین را نشان می‌دهد (شکل ۳-الف). سنگ میزان محتوی بالای SiO_2 و تمرکز پایین از عناصر فرومیزین و مقادیر بالای عناصر بزرگ یون (511 ppm)، $\text{Sr} (187 \text{ ppm})$ ، $\text{Cs} (3/21 \text{ ppm})$ ، $\text{Rb} (270 \text{ ppm})$ ، $\text{Zr} (76 \text{ ppm})$ و همچنین (30 ppm) Zn را نشان می‌دهد (شکل ۳-ت). سنگ میزان به وسیله الگوی نرمالیز شده REE به کندریت (Boynton, 1984) تقریباً صاف و تفریق یافته و غنی‌شدگی LREE نسبت به $(\text{La/Yb} = 47/41)$ نسبت به HREE ($\text{Eu/Eu}^* = 0/63$)، مقدار $\sum \text{REE} (159)$ مشخص می‌شود (شکل ۳-ب).

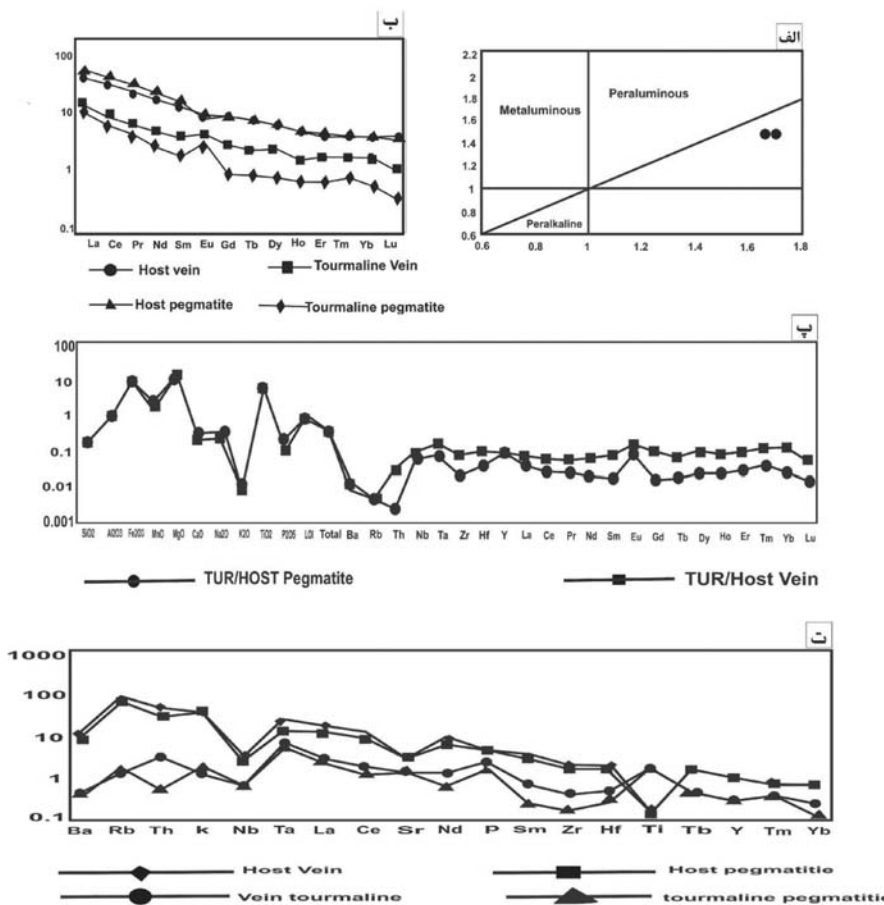
سنگ میزان تورمالین رگه‌ای دارای $\text{SiO}_2 (74/08)$ درصد وزنی، $\text{Al}_2\text{O}_3 (13/1)$ (درصد وزنی) و همچنین دارای مقادیر پایین $\text{Fe}_2\text{O}_3 (0/0)$ درصد وزنی، $\text{MgO} (0/0)$ درصد

Al_2O_3 (۳۲/۴۷ درصد وزنی) بوده و مقدار TiO_2 آنها از سنگ میزان بیشتر می‌باشد (شکل ۳-پ و ت) اما مقدار P_2O_5 آنها کمتر است که این می‌تواند به دلیل تبلور آپاتیت باشد. مقادیر عناصر کمیاب Ba (۱۱ ppm)، Sr (۷۷ ppm)، Cs (۱ ppm)، Rb (۹۰ ppm) و Zn (۵۰ ppm) است (شکل ۳-ت). در تورمالین‌ها میزان عناصر مانند V ، Cr و Sc نسبت به سنگ میزان بیشتر است که این می‌تواند به دلیل آهن و منیزیم بیشتر تورمالین باشد چون این عناصر با آهن و منیزیم سازگارند. همچنین در این تورمالین‌ها غنی‌شدنی LREE نسبت به HREE (La/Yb = ۲۷/۶۷) و آنومالی مثبت $\text{Eu}/\text{Eu}^* = ۳/۴۳$ مشاهده می‌شود که متفاوت با سنگ میزان است اما نسبت به سنگ میزان (۱۲) $\sum \text{REE}$ پایین‌تری دارند (شکل ۳-ب).

شده‌اند سازگار می‌باشند. از طرف دیگر افزایش این عناصر به همراه کاهش Zr ، Ti و Nb نسبت به کندریت می‌توانند بیانگر زون فروراش در منطقه باشند.

ژئوشیمی تورمالین پگماتیتی و رگه‌ای

تورمالین موجود در پگماتیتها دارای مقادیر بالای MgO (۳/۰۴ درصد وزنی) و Fe_2O_3 (۱۴/۱۱ درصد وزنی) می‌باشد که نشان می‌دهد تورمالین می‌تواند یکی از فازهای فرومیزین در آنها باشد. مقادیر CaO (۰/۵۹ درصد وزنی)، Na_2O (۰/۰۵ درصد وزنی)، K_2O (۰/۱۴ درصد وزنی) و SiO_2 (۳۶/۴۸ درصد وزنی) و میزان

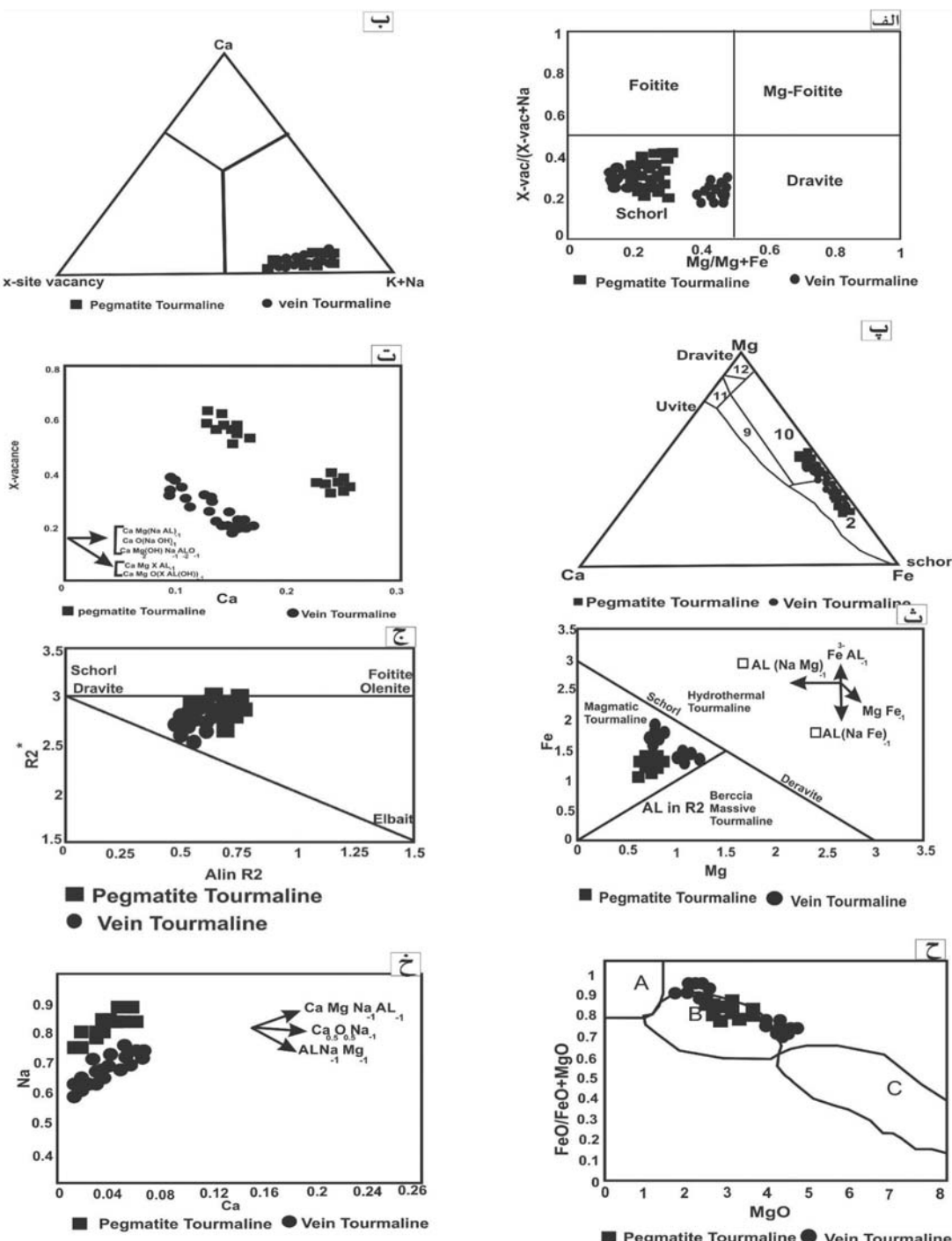


شکل ۳. (الف) نمودار تعیین اندیس اشباع از آلومینیم سنگ میزان پگماتیتی و رگه‌ای Al/NCK در مقابل Al/NK (ب) نمودار عنکبوتی نرمالیز شده REE سنگ میزان و تورمالین پگماتیتی و رگه‌ای به کندریت (Boynton, 1984). (پ) نمودار نرمالیز شده عناصر اصلی، عناصر کمیاب و عناصر نادر خاکی REE کانی تورمالین در پگماتیت و رگه‌ای به سنگ میزان. (ت) نمودار نرمالیز شده عناصر کمیاب تورمالین در پگماتیت و رگه‌ای به کندریت (Thompson, 1982)

(Henry and Guidotti, 1985) Fe-Mg-Ca نمودار (شکل ۴-ب). تورمالین‌های مورد مطالعه در محدوده گرانیتوئیدهای فقیر از لیتیم، پگماتیت‌ها و آپلیت‌های وابسته به آنها و سنگ‌های کوارتز - تورمالین، متاپسامیت‌ها و متاپلیت‌های فقیر از Ca قرار می‌گیرند (شکل ۴-ت). در نمودار R_2 در برابر R_1 (London and Manning, 1995) آنالیز شده در زیر خط $R_2 = 3R_1$ قرار می‌گیرند که نشان می‌دهد جایگاه Y آنها به طور کامل پرنشده است. پر نشدن جایگاه Y در این نمونه‌ها را می‌توان به دلیل فعالیت‌های جانشینی آلبائیت₁-LiAl(Mg,Fe) توجیه کرد (شکل ۴-ث). تغییرات در برابر Mg نشان می‌دهد که تمامی نمونه‌ها در زیر خط $\Sigma = (Fe+Mg) = 3$ قرار گرفته‌اند. بر اساس این نمودار، در تمامی نمونه‌هایی که دارای $(Fe+Mg) \Sigma$ کمتر از سه هستند، جانشینی Al در جایگاه Y بیشتر است (London and Manning, 1995) and Manning (شکل ۴-ج). در بررسی غنی‌شدگی تورمالین‌ها از عناصر آلکالن مانند Ca و Na از نمودار Ca در برابر Na استفاده شده است، (Henry and Dutrow, 1996) که بر این اساس، نمونه‌ها دارای سدیم بیشتر بوده و دارای Ca کمتر از ۲٪ هستند که نشان‌دهنده مقدار Ca+Mg=(Na+Al) کم اوویت و داشتن تبادلاتی مانند₁ Ca=X-vac+Na و Ca=X-vac+Na می‌باشند (شکل ۴-ج). در نمودار FeO/FeO+MgO در برابر MgO در نمودار تورمالین‌های پگماتیتی در محدوده نسبت FeO/FeO+MgO بیشتر از ۰/۸ در تورمالین‌های رگه‌ای در محدوده بین ۰/۶ تا ۰/۸ قرار می‌گیرند ولی تمایل بیشتر به داشتن نسبت بیشتر از ۰/۸ را دارند (شکل ۴-خ). اگر FeO/FeO+MgO در تورمالین بیشتر از ۰/۸ باشد نشان‌دهنده بسته بودن سیستم ماقمایی و اگر کمتر از ۰/۶ باشد نشان‌دهنده بور با یک خاستگاه خارجی و باز بودن سیستم است (Samson and Sinclair, 1992). هر دو نوع تورمالین بر اساس نمودار Fe/Fe+Mg در برابر Mg غنی‌شدگی از Fe/Fe+Mg را نشان می‌دهند اما در تورمالین‌های رگه‌ای در تعدادی از نقاط تمایل به طرف را می‌توان مشاهده کرد (شکل ۵-الف). در نمودار $Na^{*}+Al^{*}$ در نمودار $Na^{*}+Al^{*}$ نسبت به Ca+Mg نمونه‌ها تمایل در جهت تبادلات چند طرفیت₁ Ca+Mg=(X-vac+Al) و وجود مقدار کم اوئیت را نشان می‌دهند (شکل ۵-ب).

تورمالین رگه‌ای دارای مقادیر Fe_2O_3 ۱۳/۵۳ درصد وزنی) و MgO ۲/۹۶ (درصد وزنی) می‌باشد. مقادیر CaO (۰/۶۸ درصد وزنی)، K_2O (۰/۰۸ درصد وزنی) و Na_2O (۲/۰۸ درصد وزنی) در تورمالین نسبت به سنگ میزبان کمتر است که این می‌تواند به دلیل تبلور آلبیت باشد (شکل ۳-پ)، و همچنین حاوی SiO_2 ۳۵/۰۴ (درصد وزنی) و Al_2O_3 ۳۱/۵۲ (درصد وزنی) می‌باشد. مقادیر عناصر Ba (۱۲ ppm)، Sr (۸ ppm)، Cs (۰/۵ ppm)، Zn (۷۸ ppm) و مقدار Rb (۲ ppm) است و غنی‌شدگی LREE نسبت به (La/Yb = ۱۶/۵) همچنین آنومالی مثبت به Eu/Eu^{*} = ۱/۴۴ دیده می‌شود که متفاوت با سنگ میزبان است و نسبت به سنگ میزبان دارای (۱۹/۳ REE^Σ می‌باشد (شکل ۳-الف).

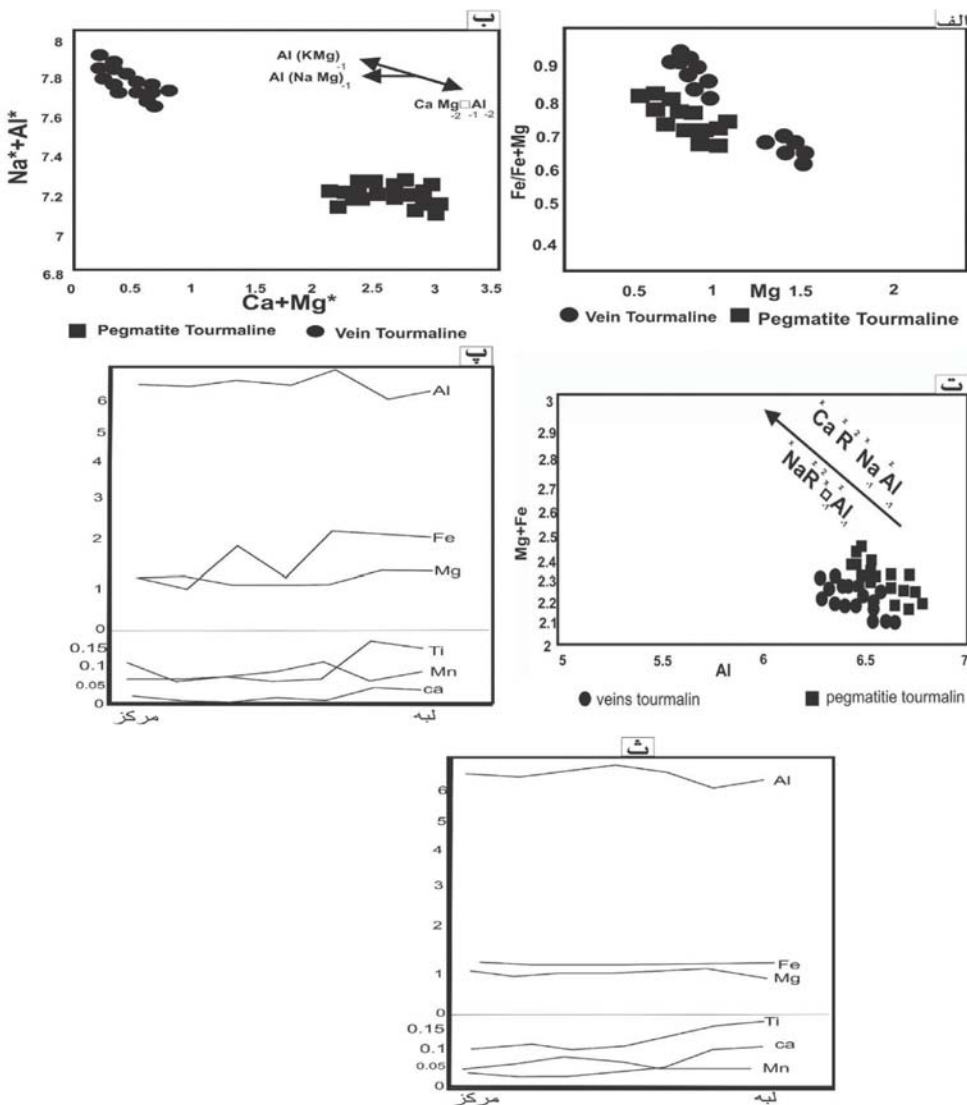
شیمی کانی تورمالین پگماتیتی و تورمالین رگه‌ای
داده‌های آنالیز الکترومایکروپرورپ کانی تورمالین پگماتیتی در جدول ۱ و تورمالین رگه‌ای در جدول ۲ ارائه شده است. این تورمالین‌ها بر اساس نمودار Mg/Mg+Fe در برابر (Henry et al., 2002) X-vac/X-vac+Na شورل قرار گرفته‌اند اما تورمالین‌های رگه‌ای تمایل بیشتری به سمت شورل غنی از منیزیم دارند (شکل ۴-الف). مقدار Fe/Mg+Fe در تورمالین‌های پگماتیتی بین ۰/۵۳ تا ۰/۸۵ و در رگه‌ای بین ۰/۵۲ تا ۰/۷۳ در تغییر است که نشان‌دهنده تمایل تورمالین‌ها در جهت شورل است. تورمالین‌ها بر اساس نمودار (Na، Ca و K) و همچنین وجود فضای خالی در جایگاه X (Hawthorn and Henry, 1999) در محدوده تورمالین‌های قلیایی قرار می‌گیرند (شکل ۴-ب). مقدار کمبود جایگاه X در تورمالین پگماتیتی بین ۰/۲۳ تا ۰/۴۸ و در تورمالین‌های رگه‌ای ۰/۴۴ تا ۰/۱۸ در تغییر است که حاکی از عوامل جانشینی مانند جانشینی چند ظرفیتی فوئیت X-vac+Al=Na+Mg در آن است و جانشینی اوویت Ca+Mgo=(Al(OH))_n در این تورمالین‌ها دیده می‌شود (Henry and Dutrow, 1996) (شکل ۴-پ). میزان Na/Na+Ca در تورمالین پگماتیتی (شکل ۴-پ) میزان این تورمالین‌ها از سدیم می‌باشد. بر اساس ۰/۹۷ تا ۰/۹۷ و در رگه‌ای ۰/۹۲ تا ۰/۹۷ غنی بودن این تورمالین‌ها از سدیم می‌باشد.



شکل ۴. (الف) ترکیب تورمالین پگماتیتی در محدوده شورول و تورمالین رگهایی به سمت شورول غنی از منیزیم قرار می‌گیرند (Henry et al., 2002). (ب) نمودار مثلثی Ca, (Na+K) vs. X-site vacancy که در آن تورمالین‌های مورد مطالعه در محدوده آلکالی قرار می‌گیرند (Hawthorn and Henry, 1996). (پ) نمودار برای تعیین نوع جانشینی موجود در تورمالین‌ها (Henry and Dutrow, 1996). (ت) موقعیت تورمالین‌های رگهایی و پگماتیتی در نمودار مثلثی Ca-Fe-Mg که نمونه‌ها در موقعیت ۲ (یعنی گرانیتوئیدهای فقیر از لیتیم، پگماتیت‌ها و آپلیت‌ها) وابسته به آنها و موقعیت ۱۰ (یعنی سنتگ‌های کوارتز-تورمالین، متاپساهیت‌ها و متاپلیت‌های فقیر از Ca) قرار می‌گیرند (Henry and Guidotti, 1985). (ث) نمودار (London and Manning, 1995) $R^{*2} = \text{Fe} + \text{Mg} + \text{Mn} + \text{Al}$ vs. Al in R2. $R^{*2} = \text{Al} + 1.33 + \text{Si} - 12$ و موقعیت تورمالین‌ها در آن (London and Manning, 1995). (ج) قرارگیری نمونه‌ها در نمودار Ca در برابر Mg در برابر Fe (London and Manning, 1995). (خ) نمودار Na در برابر MgO در برابر $\text{FeO}/(\text{FeO} + \text{MgO})$ که نشان‌دهنده قرارگیری تورمالین‌ها در موقعیت B است (Samson and Sinclair, 1992).

Na(Mg , Fe) و جانشینی‌های Ca+(Mg , Fe)=Na Al و Vac-X Al را نیز می‌توان حدس زد.

بر اساس نمودار Fe+Mg در مقابل Al (شکل ۵-پ)، بین مقدار افزایش این پارامترها یک رابطه معکوس وجود دارد.



شکل ۵. (الف) نمودار $\text{Fe}/(\text{Fe} + \text{Mg})$ در برابر Mg که نشان‌دهنده تمایل بیشتر تورمالین‌ها در جهت Fe می‌باشد. (ب) همبستگی وارون $\text{Ca} + \text{Mg}^*$ در برابر $\text{Fe}/(\text{Fe} + \text{Mg})$. (پ) نمودار تغییرات نسبت $\text{Na}^+ \text{Al}^*/(\text{Ca} + \text{Mg})^*$ در برابر Al در تورمالین‌های رگه‌ای و پگماتیتی (ت) تغییرات منطقه‌بندی شیمیایی در تورمالین پگماتیتی. (ث) تغییرات منطقه‌بندی شیمیایی در تورمالین‌های رگه‌ای

بحث

(Broska, 2010). در منطقه مورد مطالعه با توجه به مطالعاتی که توسط کریم پور و همکاران (۱۳۹۰) بر روی لوکوگرانیت‌های مشهد انجام شده، این گرانیت‌ها جزء گرانیت‌های پرآلومینیم، بسیار تفریق یافته و حاصل از ذوب متاپلیت‌ها معرفی شده‌اند. از طرف دیگر با توجه به اندیس

تورمالین یک فاز معمول در لوکوگرانیت‌های پرآلومینیم است و زمانی که اندیس اشباع از آلومینیم به $1/2$ برسد و Fe/Mg کافی در مذاب در دسترس باشد متبلور می‌شود (Wolf and London, 1997). ترکیب این کانی بهشت Kubiš and

حالت نامتعادل دانست. در تورمالین‌ها جانشینی‌هایی مانند $\text{Al}=\text{Mg}$, Fe پروتون از آنیون (OH) و یا با ایجاد جایگاه خالی در موقعیت X حاصل می‌شود. جایگاه خالی X و کاهش پروتون در تورمالین‌های سری شورل-دراویت رایج است (Foit and Rosenberg, 1977). با استفاده از نمودارهای جانشینی در قسمت رئووشیمی تورمالین می‌توان دید که عده جانشینی‌های صورت گرفته در آنها $\text{Ca}+\text{Mg}=(\text{X}-\text{vac}+\text{Al})$, $\text{Ca}=\text{X-vac}+\text{Na}$ و $\text{Ca}+\text{MgO}=(\text{Al}(\text{OH}))_{\text{vac}+\text{Al}}$ می‌باشد. البته جانشینی محدود $\text{X-vac}+\text{Al}=\text{Na}+\text{Mg}$ نیز در آنها مشاهده می‌شود. میزان $\text{Na}/\text{Na}+\text{Ca}$ در تورمالین پگماتیتی $0/0.97$ و در تورمالین رگه‌ای $0.92/0.97$ می‌باشد و حکایت از میزان بیشتر سدیم از سایر عناصر در جایگاه X دارد. سدیم در تورمالین با کاهش دما افزایش می‌باید و همچنین میزان جایگاه خالی X به دما و غلظت سدیم در سیستم بستگی دارد (Von Goerne et al., 2001). در سیستم‌های غنی از H_2O احتمالاً جانشینی کمبود آلکالی رایج‌تر است (Gallagher, 1988). جانشینی کاهش پروتون بهوسیله pH سیستم کنترل می‌شود (Henry et al., 2002). بر این اساس در مراحل اولیه تبلور پگماتیتها احتمالاً شرایط تحت اشباع از آب ایجاد می‌شود و جانشینی $(\text{OH})_{\text{vac}}=\text{AlO}=(\text{Fe.Mg})$ که در مورد تورمالین‌های مورد مطالعه بیشتر بهصورت $\text{Ca}+\text{Mgo}=(\text{Al}(\text{OH}))_{\text{vac}}$ می‌باشد صورت می‌گیرد و سپس محتوی H_2O با تکامل پگماتیتها افزایش می‌باید و جانشینی $\text{X-vac}+\text{Al}=\text{Na}+\text{Mg}$ صورت می‌گیرد. البته با توجه به وجود Ca و منیزیم کم در این مذاب‌های تفرقی یافته، جانشینی $\text{Ca}=\text{X-vac}+\text{Na}$ و $\text{Ca}+\text{Mg}=(\text{X}-\text{vac}+\text{Al})$ نیز رخ می‌دهد. در تورمالین‌های مورد مطالعه میزان سدیم تورمالین‌ها از میزان سدیم سنگ میزان‌شان کمتر است که این را می‌توان به تبلور آلبیت از ماغما نسبت دارد (Dutrow and Henry, 2000).

محتوی کلسیم در تورمالین بهطور نسبی به مقدار آنورتیت پلازیوکلاز مرتبط است و این می‌تواند برای مرحله هیدرترمال در پگماتیتها که در آن پلازیوکلاز و تورمالین با هم ایجاد می‌شوند مهم

اشباع از آلومینیم (ASI) موجود در سنگ میزان تورمالین پگماتیتی $1/48$ و رگه‌ای $1/46$ ، آنها جزء سنگ‌های پرآلومین قرار می‌گیرند. عموماً تورمالین‌ها در مذاب پرآلکالن، متاآلومین و کم آلومینیم و اندیس اشباع کمتر از $1/2$ ناپایدارند (Wolf and London, 1997). محتوی Mn یک شاخص مناسب برای تشخیص تفرقی است (Selway et al., 1999; Tindle, 2002 Werding and Schryer (2002) بررسی‌هایی که بر روی سیستم‌های طبیعی توسعه (Grew 2002) بر روی تغییرات ترکیب تورمالین انجام شده است به این نتیجه رسیده‌اند که در طول تفرقی ماقماً، میزان $\text{Fe}/\text{Fe}+\text{Mg}$ و Mn ، Al London et al. نیز بیان کرده‌اند که با افزایش میزان تفرقی ماقماً، میزان F , B , P در مذاب افزایش می‌باید و در این مذاب تفرقی یافته غلظت مواد حل نشدنی بهویژه عناصر با شدت میدان بالا، افزایش می‌باید. در تورمالین‌های مورد بررسی، تغییرات بهصورت نوسانی می‌باشد ولی مقدار Fe و Mn در آنها افزایش یافته و با توجه به وجود تورمالین در این سنگ‌ها می‌توان گفت که در اثر تفرقی زیاد Dutrow and Henry (2000) بیان کردند که تغییر ترکیب شیمیایی تورمالین ممکن است حاصل از تغییر ترکیب سیال در هر مرحله از رشد بلور باشد و در مورد تغییرات نوسانی ترکیب در تورمالین‌های مورد مطالعه نیز می‌توان تغییر ترکیب مذاب در طی تفرقی و به حالت اشباع رسیدن مذاب از عناصر مورد نیاز برای رشد تورمالین را پیشنهاد کرد. در همین راستا (Ortoleva et al. 1987) بیان کردند که رشد یک کانی در محلول‌های فوق اشباع می‌تواند بدون اینکه در پارامترهای کنترل‌کننده خارجی تغییر ایجاد کند باعث ایجاد منطقه‌بندی شود. البته Ortoleva et al. (1987) تعییرات کوچک در منطقه‌بندی تورمالین‌های رگه‌ای را در اثر رشد سریع و شرایط نوسانی رشد در سیستم بسته می‌دانند. در منطقه مورد نظر نیز به علت ایجاد تورمالین‌های دندربیتی در رگه‌ها که عمدتاً این اشکال در سرددشگی‌های شدید اتفاق می‌افتد می‌توان تغییر ترکیب در تورمالین رگه‌ای را به علت رشد در

نوع شورل با منیزیم متوسط و کمتر می‌باشد. از طرف دیگر نسبت $\text{FeO}/\text{FeO} + \text{MgO}$ در تورمالین‌های پگماتیتی $1/8$ بوده که نشان‌دهنده بسته بودن سیستم و شرایط ماقمایی آنها می‌باشد اما این نسبت در تورمالین‌های رگه‌ای در برخی نمونه‌ها در محدوده بین $0/6$ تا $0/8$ می‌باشد که بیانگر سیستم ماقمایی-گرمایی می‌باشد. البته عوامل خارجی هم می‌تواند در طی تکامل آنها نقش داشته باشد گرچه نقش این عوامل ناچیز است. این را می‌توان از محتملاً این مقدار Ti تورمالین نسبت به سنگ میزبان دید که احتمالاً این مقدار Ti از محیط خارجی و یا در اثر فعالیت مواد فرار بوردار و اسیدی از تجزیه ببوتیت حاصل شده و در مراحل پایانی تکامل ماقمایی و در حضور عناصری مانند بور و فلور فاز سیال را ترجیح می‌دهد و سپس وارد ساختمان تورمالین می‌شود. Hezel et al. (2011) بیان کردند که هم رشدی تورمالین و فلدسپات نشان گذار از سیستم ماقمایی به گرمایی می‌باشد. در نمونه‌های مورد مطالعه در هر دو نوع تورمالین مشاهده شد که تورمالین بر روی فلدسپات رشد کرده که این می‌تواند حاصل تاثیر فازهای غنی از بخار بر روی فلدسپات در طی تکامل پگماتیت باشد. Jiang et al. (1995) تورمالین زایی مولیبدن، سرب و روی تجمع پوسته‌ای دارند و این فلزات توسط گرمابها و به خصوص هالوژن‌ها حمل می‌شوند و بیشتر در کانی‌های حاوی هالوژن (فلوئور و برم) جمع می‌شوند و این عناصر در طول فرآیند تکامل ماقمای رفتار ناسازگار دارند. از این‌رو آنومالی روی می‌تواند به علت تفرقی زیاد ماقمایی و قرارگیری Zn در مذاب آبگون حاوی هالوژن‌ها باشد. در کل تورمالین جدا شده از مذاب در اثر تفرقی بلوری قادر به تفکیک عناصر کمیاب زیادی به استثناء بور نیست Vicent and Hinsburg, 2011). در تورمالین در Eu قرار X می‌گیرد و احتمالاً این آنومالی به دلیل وجود کلسیم در جایگاه X تورمالین است (Vicent and Hinsburg, 2011). با توجه به حضور Ca در جایگاه X تورمالین می‌توان آنومالی Eu در تورمالین‌های مورد مطالعه را به حضور این عنصر در جایگاه X و همچنین تفرقی زیاد ماقمای نسبت داد. تورمالین‌های موجود در پگماتیتی از

باشد (Hezel et al., 2011). معمولاً تورمالین‌های با کلسیم بالا در پگماتیت‌ها در اثر تفرقی بلوری ایجاد نمی‌شوند، زیرا طبق نظر Neiva et al (2008) در طول تکامل ماقمای گرانیتی، محتوی آنوتیت در پلاژیوکلازها و Ba در فلدسپارهای آکالن از گرانیت والد به پگماتیت و آپلیت کاهش می‌یابد. تنوع در رنگ تورمالین در زیر میکروسکوب و ایجاد منطقه‌بندی در آن می‌تواند به دلیل تفرقی در مرحله تأخیری و به تغییرات میزان Ti , Ca و Fe مرتبط باشد. تورمالین سبز آبی Ti , Ca و Fe پایین‌تری نسبت به تورمالین قهوه‌ای دارد که این نکته را می‌توان در مورد تورمالین‌های مورد مطالعه در نمودارها (شکل ۵-ت و ث) مشاهده کرد. همان‌طور که مشاهده می‌شود تغییرات به صورت نوسانی می‌باشد و این دلالت بر تغییر ترکیب مذاب در طول تنشی‌نی تورمالین و همچنین واکنش بین سیال-سنگ دارد. اما عامل تغییر رنگ در تورمالین می‌تواند به دلایل دیگری مانند فرآیند انتقال بار و حضور عناصر کمیاب و ساختار ناقص بلور نیز باشد (Faye et al., 1974). رگه‌های کوارتز-تورمالین می‌توانند به وسیله تبلور از بخارات ساخته شده از گازگیری مایع سیلیکات-گرانیت ساخته شوند (Smith and Yardely, 1996). Deer et al (1996) تورمالین‌زایی ممکن است با ایجاد بور در مرحله پنوماتولیتیک رخ دهد و بور از کانی‌هایی نظری بر بیویت اولیه گرفته شود و سپس فلدسپات با تورمالین جایگزین می‌شود اما جایگزینی برای کوارتز رخ نمی‌دهد و در پایان رگه‌های کوارتز-تورمالین شکل می‌گیرند. تورمالین با منشأ ماقمایی دارای نسبت Fe/Mg بالا و Al در جایگاه Y می‌باشد که این عامل خود دلیل بر وجود جایگاه خالی X در تورمالین‌های ماقمایی می‌باشد اما تورمالین‌های هیدروتورمال دارای منطقه‌بندی ترکیبی هستند و گرایش به ترکیبات غنی از Mg و نزدیک به محلول جامد سری شورل-دراویت را دارند (Benard et al., 1985). در بررسی شیمی کانی، بین دو نوع تورمالین مورد مطالعه تفاوت‌های زیادی وجود نداشت به‌جز اینکه ترکیب تورمالین در رگه‌های غنی از تورمالین، بیشتر به سمت غنی‌شدن از منیزیم تمایل دارد و در واقع شورل‌های غنی از منیزیم هستند اما تورمالین پگماتیتی از

ولی در بخش‌های حاشیه که احتمال واکنش با کانی‌ها و دیگر مواد موجود در سنگ میزبان را دارند ترکیب منیزیم‌دار دارند و حاشیه‌های روشن اطراف رگه‌ها نیز می‌تواند به دلیل همین تبادلات ایجاد شود. منطقه‌بندی موجود در آنها هم می‌تواند به دلیل تغییر ترکیب مذاب سازنده آنها باشد ولی می‌تواند به دلیل سردشدن سریع آنها نیز ایجاد شده باشد. بدین‌صورت که با قیمانده ماقمای گرانیتی ضمن سرد شدن به دو مایع تفکیک می‌شود و پس از تشکیل پگماتیتها، ترکیب سیال باقی مانده به سمت خصوصیات گرمایی تمایل پیدا کرده و همچنین این سیال با سیال‌های جوی آغازته شده و در طی سرد شدن، رگه‌های با ضخامت کم و غنی از تورمالین را می‌سازد که ترکیب تورمالین آن به سمت شورلیت‌های غنی از منیزیم تمایل دارد. از طرفی تورمالین‌های رگه‌ای را می‌توان به تکامل گازهای حاوی بور در مرحله پنوماتولیتیک نیز نسبت داد که در این مرحله تورمالین می‌تواند بر روی فلدسپات‌ها رشد کرده باشد.

منابع:

- زال، ف.، ۱۳۹۳. ژئوشیمی و تعیین منشا تورمالین در گرانیت‌های (g2) مشهد. پایان‌نامه کارشناسی ارشد، دانشکده علوم، دانشگاه لرستان، ۱۱۰.
- صمدی، ر.، میرنژاد، ح.، شیردشت زاده، ن. و کاواباتا، ۰.۵. ۱۳۹۱. کاربرد شیمی گارنت در بررسی ترمودینامیک تونالیت ده نو (شمال غرب مشهد)، ایران. مجله بلورشناسی و کانی‌شناسی ایران، ۲۰(۲)، ۴۵۳-۲۶۴.
- طهماسبی، ز.، زال، ف. و احمدی خلجمی، ا.، ۱۳۹۴ a. ریخت‌شناسی تورمالین در گرانیت‌های مشهد (g2) با استفاده از آنالیز فراکتال و تئوری اجتماع با انتشار محدود (DLA). مجله بلورشناسی و کانی‌شناسی ایران، ۲۳(۳)، ۴۱۷-۴۲۸.
- طهماسبی، ز.، زال، ف. و احمدی خلجمی، ا.، ۱۳۹۴ b. ژئوشیمی و سازوکار تشکیل تورمالین گرهکی در گرانیت‌های (g2) مشهد. مجله بلورشناسی و کانی‌شناسی ایران، ۲۳(۳)، ۵۶۹-۵۸۴.
- کریم‌پور، م.ح.، فارمر، ل. و استرن، چ.، ۱۳۹۰. ژئوشیمی رادیو ایزوتوپ‌ها Rb-Sr و Sm-Nd، سن سنجی زیرکن U-Pb و تعیین منشأ لیکوگرانیت‌های خواجه مراد،

رگه‌ها آنومالی‌های Eu مثبتی را نسبت به سنگ میزبان نشان می‌دهند در حالی که میزان Eu در تورمالین‌ها نسبت به سنگ میزبان آنها کمتر است. جانشینی Eu به دما، فوگاسیته و اندازه یون بستگی دارد (Bau, 1991). با توجه به این که REE‌ها، مذاب را به سیال آبدار ترجیح می‌دهند (Flynn and Burnham, 1978) و همچنین هالوژن‌ها بهویه فلوئور توانایی تحرک عناصر نادر خاکی را دارند و چون این عناصر در مذاب حاوی عناصر سازنده تورمالین زیاد هستند پس اگر تورمالین از سیال آبدار متبلور شده باشد دارای غلظت REE پایین‌تری می‌باشد، لذا تورمالین مشتق شده از سیال آبدار نسبت به تورمالین حاصل از مذاب از REE فقیرتر است.

نتیجه‌گیری

هر دو نوع تورمالین مورد مطالعه وابسته به تورمالین‌های شورل و آلکالی می‌باشند، با این تفاوت که نوع پگماتیتی صرفاً ماقمایی و شورل غنی از آهن است اما نوع رگه‌ای حدفاصل ماقمایی - گرمایی و شورل غنی از منیزیم است. همچنین عناصر اصلی سازنده هر دو نوع تورمالین پگماتیتی و رگه‌ای ماقمایی تکامل یافته‌ای است که در ضمن تکامل خود دچار تغییرات شده است. تورمالین‌های پگماتیتی بیشتر در اثر فرآیندهای ماقمایی ایجاد شده‌اند و این را از بلورهای شکل‌دار و غنی از آهن و همچنین شواهد دیگر ذکر شده می‌توان استنباط کرد. همچنین این مطلب را نیز باید در نظر گرفت که در طول تکامل ماقمای سازنده این تورمالین‌ها، تنها مواد درونی ماقما نقش ندارند بلکه عوامل خارجی نیز دخالت دارند. برای مثال مقدار بیشتر Ti تورمالین نسبت به سنگ میزبان احتمالاً بیانگر این است که این مقدار Ti از محیط خارجی وارد ساختمان تورمالین شده است. تغییرات نوسانی در عناصری مانند کلسیم، منیزیم و تیتانیم نیز می‌تواند به دلیل تأثیر مواد فرار بر روی مواد اطراف تورمالین در حال رشد باشد اما در مورد رگه‌های تورمالین دار و بر اساس شواهد می‌توان آنها را به تکامل پگماتیت‌ها نسبت داد. این تورمالین‌ها در بخش‌های مرکزی رگه‌ها به صورت تورمالین‌های با ترکیب آهن بیشتر و شورل متبلور می‌شوند

- nated and nodular tourmaline from leucocratic granites: examples from the Bohemian Massif, Czech Republic. *Lithos*, 95, 148–164.
- Deer, W.A., Howie, R.A. and Zussman, J., 1996. *An Introduction to the Rock-Forming Minerals*. Pearson Prentice Hall, Harlow.
 - Dini, A., Corretti, A., Innocenti, F., Rocchi, S. and Westerman, D.S., 2007. Sooty sweat stains or tourmaline spots? The Argonauts at Elba Island (Tuscany) and the spread of Greek trading in the Mediterranean Sea. In Piccardi, L., Masse, W. B. (eds) *Myth and Geology*. Geological Society, London, Special Publications, 273, 227–243.
 - Dutrow, B.L. and Henry, D.J., 2000. Complexly zoned fibrous tourmaline, Cruzeiro mine, Minas Gerais, Brazil: a record of evolving magmatic and hydrothermal fluids. *The Canadian Mineralogist*, 38, 131–143.
 - Faye, G.H., Manning, P.G., Gosselin, J.R. and Tremblay, R.G., 1974. The optical absorption spectra of tourmaline: importance of charge-transfer processes. *The Canadian Mineralogist*, 12, 370–380.
 - Flynn, R.T. and Burnham, C.W., 1978. An experimental determination of rare earth partition coefficients between chloride containing vapor phase and silicate melts. *Geochimica et Cosmochimica Acta*, 42, 685–701.
 - Foit, F.F. and Rosenberg, P.E., 1977. Coupled substitutions in the tourmaline group. *Contributions to Mineralogy and Petrology*, 62, 109–117.
 - Gallagher, V., 1988. Coupled substitutions in schorl-dravite tourmaline; new evidence from SE Ireland. *Mineralogical Magazine*, 52, 637–650.
 - Grew, E.S., 2002. Borosilicates (exclusive of tourmaline) and boron in rock-forming
- مشهد، ایران. *فصلنامه علوم زمین، سازمان زمین‌شناسی و اکتشاف معدنی کشور*، ۲۰(۸۰)، ۱۷۱-۱۸۲.
- میرنژاد، ح.، ۱۳۷۰. پترولوزی گرانیت‌ها و پگماتیت‌های جنوب مشهد. پایان‌نامه کارشناسی ارشد، پردیس علوم، دانشگاه تهران، ۲۵۹.
 - ولی‌زاده، م.و. و کریم‌پور، م.ح.، ۱۳۷۴. منشا و موقعیت تکتونیکی گرانیت‌های جنوب مشهد، مجله علوم، دانشگاه تهران، ۲۱(۱)، ۷۱-۸۲.
 - Agrosi, G., Bosi, F., Lucchesi, S., Melchiorre, G. and Scandale, E., 2006. Mn-tourmaline crystals from island of Elba (Italy): growth history and growth marks. *American Mineralogist*, 91, 944–952.
 - Alberti, A. and Moazez, Z., 1974. Plutonic and metamorphic rocks of the Mashhad area (northeastern Iran, Khorasan). *Bulletin Society Geological Italy*, 93, 1157–1196.
 - Bau, M., 1991. Rare-earth element mobility during hydrothermal and metamorphic fluid-rock interaction and the significance of the oxidation state of europium. *Chemical Geology*, 93, 219–230.
 - Beaty, D.W., Hahn, G.A. and Threlkeld, W.E., 1988. Field, isotopic, and chemical studies of tourmaline-bearing rocks in the Belt-Purcell Supergroup: genetic constraints and exploration significance for Sullivan type ore deposits. *The Canadian Mineralogist Earth Sciences*, 25, 392–402.
 - Bernard, F., Moutou, P. and Pichavant, M., 1985. Phase relations of tourmaline leucogranites and the significance of tourmaline in silicic magmas. *Journal of Geology*, 93, 271–291.
 - Boynton, W.V., 1984. Geochemistry of the rare earth elements meteorite studies. In: Henderson, P. (ed) *Rare Earth Element Geochemistry*, Elsevier, Amsterdam, 63–114.
 - Buriánek, D. and Novák, M., 2007. Compositional evolution and substitutions in disseminated

- minerals in metamorphic environments. In Boron: Mineralogy, Petrology and Geochemistry, 2nd printing (E.S. Grew & L.M. Anovitz, eds.). Review in Mineralogy, 33, 387–502.
- Hawthorne, F.C. and Henry, D.J., 1999. Classification of the minerals of the tourmaline group. European Journal of Mineralogy, 11, 201–215.
 - Henry, D.J. and Dutrow, B.L., 1992. Tourmaline in a low grade clastic metasedimentary rock: an example of the petrogenetic potential of tourmaline. Contribution to Mineralogy and Petrology, 112, 203–218.
 - Henry, D.J. and Dutrow, B.L., 1996. Metamorphic tourmaline and its petrologic applications. In: Grew Es, Anovitz LM (eds) Boron. Mineralogy, Petrology and Geochemistry, The Mineralogical Society of America, Washington, DC, Review in Mineralogy, 33, 503–557.
 - Henry, D.J., Dutrow, B.L. and Silverstone, J., 2002. Compositional asymmetry in replacement tourmaline – an example from the Tauern Window, Earstern Alps. Geological Materials Research, 4(2), 1–18.
 - Henry, D. J. and Guidotti, C.V., 1985. Tourmaline as a petrogenetic indicator mineral: an example from the staurolite grade metapelites of NW-Marine. American Mineralogist, 70, 1–15.
 - Hezel, D.C., Kalt, A., Marschall, H.R., Ludwig, T. and Meyer, H.P., 2011. major-element and Li, be compositional evolution of tourmaline in an s-type granite-pegmatite system and its country rocks: an example from ikaria, aegean sea, Greece. The Canadian Mineralogist, 49, 321–340.
 - Jiang, S.Y., Palmer, M.R., Li, Y.H. and Xue, C.J., 1995. Chemical compositions of tourmaline in the Yindongzi-Tongmugou Pb-Zn deposits, Qinling, China: Implications for hydrothermal ore-forming processes. Mineralium Deposita, 30, 225–234.
 - Jiang, S.Y., Radvanec, M., Nakamura, E., Palmer, M., Kobayashi, K., Zhao, H.X. and Zhao, K.D., 2008. Chemical and boron isotopic variations of tourmaline in the Hnilec granite-related hydrothermal system, Slovakia: constraints on magmatic and metamorphic fluid evolution. Lithos, 106, 1–11.
 - Kubiš, M. and Broska, I., 2010. The granite system near Betliar village (Gemicic Superunit, Western Carpathians): evolution of a composite silicic reservoir. Journal of Geosciences, 55, 131 – 148.
 - London, D., Babb, H.A., Morgan, G.B. and Lommis, J.L., 1993. Behavior and effects of phosphorus in the system $\text{Na}_2\text{O}-\text{K}_2\text{O}-\text{Al}_2\text{O}_3-\text{SiO}_2-\text{H}_2\text{O}$ at 2000 MPa (H_2O). Contributions to Mineralogy and Petrology, 113, 450– 460.
 - London, D. and Maning, D.A.C., 1995. Chemical variation and significance of tourmaline from SW England. Economic Geology, 90, 495–519.
 - London, D., Morgan, G.B. and Wolf, M.B., 1996. Boron in granitic rocks and their contact aureoles. In Boron: Mineralogy, Petrology and Geochemistry (E.S. Grew & L.M. Anovitz, eds.). Review in Mineralogy, 33, 299–330.
 - Mirnejad, H., Lalonde, A.E., Obeid, M. and Hasanzadeh, J., 2013. Geochemistry and petrogenesis of Mashhad granitoids: An insight into the geodynamic history of the Paleo-Tethys in northeast of Iran. Lithos, 170, 105–116.
 - Neiva, A.M.R., Gomes, M.E.P., Ramos, J.M.F. and Silva, P.B., 2008. Geochemistry of granitic aplite pegmatite sills and their minerals from Arcozelo da Serra area (Gouveia, central Portugal). European Journal of Mineralogy, 20,

- 465-485.
- Nemec, D., 1975. Genesis of tourmaline spots in leucocratic granites. *Neues Jahrbuch Mineralogic Monatshefte*, 7, 308-317.
 - Ortoleva, P., Merino, E., Chadam, J. and Moore, C., 1987. Geochemical self-organization I: Reaction- transport Feed backs and modeling approach. *American Journal of Sciences*, 287, 979-1007.
 - Samson, I.M. and Sinclair, W.D., 1992. Magmatic hydrothermal fluids and the origin of quartz-tourmaline orbicles in the Seagull Batholith, Yukon Territory. *Canadian Mineralogist*, 30, 937-954.
 - Selway, J.B., Novák, M., Černý, P. and Hawthorne, F.C., 1999. Compositional evolution of tourmaline in lepidolite-subtype pegmatites. *European Journal of Mineralogy*, 11, 569-584.
 - Selway, J.B., Novák, M., Černý, P. and Hawthorne, F.C., 2000a. The Tanco pegmatite at Bernic Lake, Manitoba. XIII. Exocontact tourmaline. *Canadian Mineralogist*, 38, 869-976.
 - Selway, J.B., Černý, P., Hawthorne, F.C. and Novák, M., 2000b. The Tanco pegmatite at Bernic Lake, Manitoba. XIV. Internal tourmaline. *Canadian Mineralogist*, 38, 877-891.
 - Selway, J.B., Smeds, S.A., Černý, P. and Hawthorne, F.C., 2002. Compositional evolution of tourmaline in the petalite-subtype Nyköpingssgruvan pegmatites, Utö, Stockholm Archipelago, Sweden. *Geologiska föreningen*, 124, 93-102.
 - Smith, M.P. and Yardley, B.W.D., 1996. The boron isotopic composition of tourmaline as a guide to fluid processes in the southwestern England Orefield: an ion microprobe study. *Geochimica et Cosmochimica Acta*, 60, 1415-1427.
 - Taheri, J. and Ghaemi, F., 1994. Geological sheet map of Mashhad, 1:100000 scale, Geological Survey of Iran, Tehran.
 - Tindle, A.G., Breaks, F.W. and Selway, J.B., 2002. Tourmaline in petalite-subtype granitic pegmatites: evidence of fractionation and contamination from the Pakeagama Lake and Separation Lake areas of northwestern Ontario, Canada. *The Canadian Mineralogist*, 40, 753-788.
 - Thompson, A.B., 1982. Magmatism of the British Tertiary volcanic province. *Scottish Journal of Geology*, 18, 50-107.
 - Vincent, J. and Hinsberg, V., 2011. Preliminary experimental data on trace-element partitioning between tourmaline and silicate melt. *The Canadian Mineralogist*, 49, 153-163.
 - VonGoerne, G., Franz, G. and Heinrich, W., 2001. Synthesis of tourmaline solid solutions in the system $\text{Na}_2\text{O}-\text{MgO}-\text{Al}_2\text{O}_3-\text{SiO}_2-\text{B}_2\text{O}_3-\text{H}_2\text{O}-\text{HCl}$ and the distribution of Na between tourmaline and fluid at 300 to 700°C and 200 MPa. *Contributions to Mineralogy and Petrology*, 141, 160-173.
 - Werding, G. and Schreyer, W., 2002. Experimental studies on borosilicates and selected borates. In *Boron: Mineralogy, Petrology and Geochemistry*, 2nd printing (E. S. Grew & L. M. Anovitz, eds.). *Review in Mineralogy*, 33, 117-163.
 - Wolf, M.B. and London, D., 1997. Boron in granitic magmas: stability of tourmaline in equilibrium with biotite and cordierite. *Contributions to Mineralogy and Petrology*, 130, 12-30.